

国鉄構造物設計事務所 正 北後征雄  
 ・仙台新幹線工事局 正 橋崎元儀  
 ・下関工事局 正 児玉育雄

## まえがき

鉄道高架構造物としてよく用いられるビームスラブ形式のラーメン高架橋の1ブロックの長さは、通常3.5m程度以下である。この理由は、それ以上長くすると、温度変化とコンクリートの乾燥収縮の影響が大きくなり、現行の設計方法・設計基準では不経済もしくは設計不可能となるからである。国鉄では長大化のための基礎的な調査、測定をおこなっているが、ここでは、従来の設計では変形後も角度が変わらないものとして解析されていたラーメン隅角部の挙動に着目し、持続荷重に対する塑性的変形による応力緩和の実状を調査するものである。

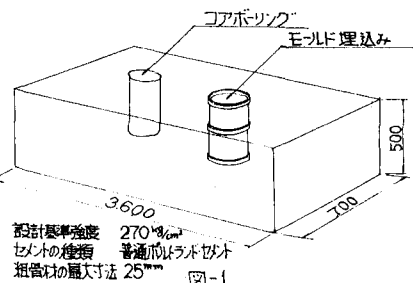
なお、本報告は昨年の報告に續いて、継続中の測定結果について述べるものである。

## 1. 実験概要

実験はコンクリートの静弾性係数( $E_c$ )を測定した予備試験と隅角部を想定した供試体の測定から成り立っている。

1.1 コンクリートの静弾性係数( $E_c$ )の測定(予備試験)

図-1に示す3.6m×0.7m×0.5mの直方体のコンクリートのなかにモールドのまま埋込んだ供試体(以下M供試体と云う)、ブロックからコアボーリングにより取り出した供試体(以下C供試体と云う)、標準供試体(以下S供試体と云う)の3種類について静弾性係数( $E_c$ )の測定をおこなった。



測定の結果から次のことが云える。

① 実測 $E_c$ 値は、土木学会制定のコンクリート標準示方書の値の70%程度である(図-2)。これは骨材の品質に起因すると考えられる。

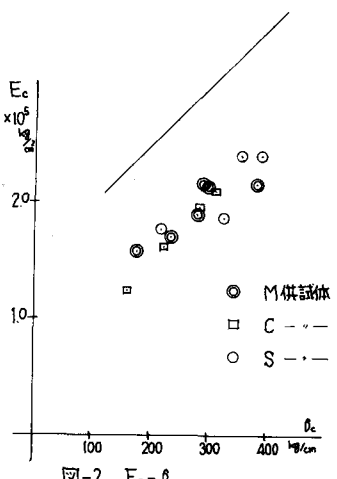
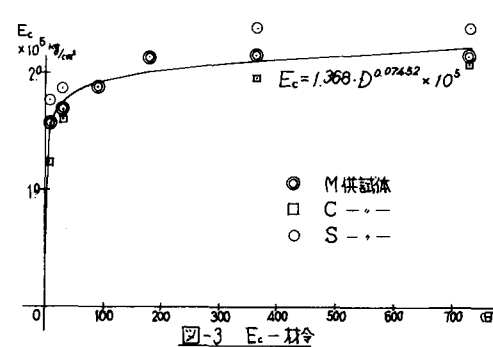
② 図-3に示すとおり、同一材令での $E_c$ 値は、S, M, Cの順に大きく、実際の構造物の内部の $E_c$ 値の変化に最も近似していると思われるM供試体の $E_c$ 値の変動は次式で与えられる。

$$E_c = 1.368 \cdot D^{0.07452} \times 10^5 \text{ (kg/cm}^2\text{)} \quad \text{ここに, } D : \text{材令 (日)}$$

## 1.2 隅角部を想定した供試体の測定

## 1.2.1 供試体

供試体は、東北新幹線標準ラーメン高架橋の上層はりと柱の隅角部を想定したもので、ほぼ実構造物の大きさとし、鉄筋比および鉄筋の配置状態もできるだけ実構造物に近づけた。形状寸法を図-4に示す。使用した鉄筋はSD35、コンクリートの配合は表-1のとおりである。



## 1・2・2 実験の方法

各々の供試体のハンチ始点部(▼印)の縁端応力度が±20%にならぬよう測定日ごとに荷重を調整し、隅角部の変位、応力度等を測定する。開載荷用、閉載荷用とも、基礎コンクリート(隅角部及び載荷点付近の3箇所に設けられている)の上に載せてある。なお、摩擦の影響を除くため、供試体と基礎コンクリートの間にはテフロン板を介在させている。また、隅角部には、さや管ヒアンカーバーにより、回転のできる止めを設けている。

## 1・2・3 測定結果

① 図-5は各部のたわみより相対変位量を算出して描いたものである。開載荷と閉載荷では変位の方向は逆であらう、相対変位量はほぼ等しい。また、予備試験の結果から、M供試体のE<sub>c</sub>と等しいと考えて計算により求めた弾性変形量を図中に示すが、クリープ(フロー+遅れ弾性変形)の量は弾性変形量の2~2.5倍となっている。

② 中立軸におけるコンクリートのひずみの測定結果を図-6に示す。ひずみは部材の内部温度にはほぼ忠実に膨張・収縮しているが、線膨張係数を $1 \times 10^{-5}$ として測定値と差引くと図-6(b)の結果となり、この量は、軸力によるクリープの影響と思われる。

③ 図-7は閉載荷の場合の鉄筋の応力度を示すが、鉄筋が時間の経過につれて、大きな圧縮力を受けていることが解る。これは

乾燥収縮とクリープの影響により、コンクリートと鉄筋の応力度分担が変化しているためと考えられる。

2. 結び ラーメンの隅角部には弾性変形量の2倍程度のクリープを考慮してよいことがわかった。すなわち、クリープの影響を考慮すれば、柱の縁端応力度を弹性計算で $60\sim70\%$ にして、殆どひびわれの生じない構造が可能と考えられる。

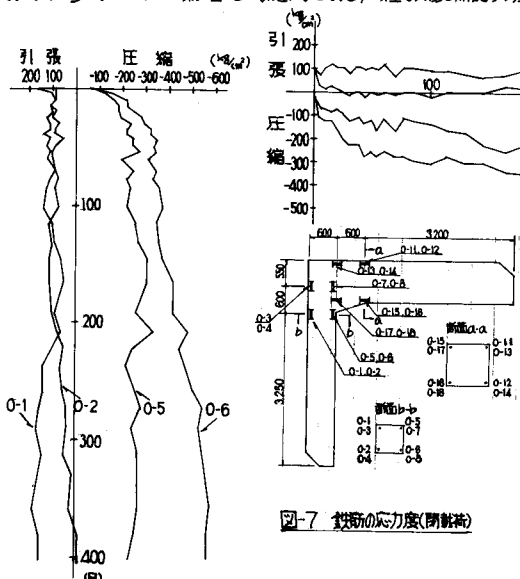


図-7 鉄筋の応力度(閉載荷)

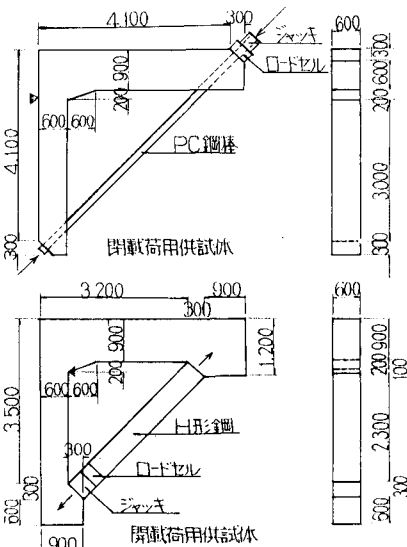


図-4 形状寸法

表 1 コンクリートの配合

設計強度(%)	骨材	砂	水	セメント	骨材	砂	水	セメント	骨材	砂	水	セメント
(%)	(kg/m³)											
270	25	12.9	4.5	49	347	170	755	101	0.868			

図-5 相対変位

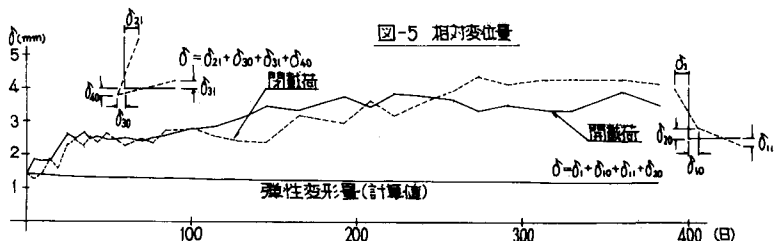


図-5 相対変位

